

上向流型高速凝集沈殿池におけるブランケットの安定性について

九州大学工学部 正員 粟谷 陽一

學生員 ○楠田 哲也

田中 純彦

I. はしがき 水処理における凝集およびフロック形成は沈殿、汎過とともに重要なプロセスを形成している。近年広く用いられるようになった急速凝集沈殿池は、凝集、フロック形成、沈殿の各々単一なプロセスを合せて一個の装置としたものである。この装置は沈殿時間が短くて済むこと、薬品使用量が少なくて済むこと、床面積が少なくて済むこと等の長所を有する反面、管理に高度の技術を要すること、水質変動および水量負荷の急変に順応しにくうこと等の短所をも有している。本研究は水量負荷の変動によるスラッジプランケット(以下プランケットと略す)界面の挙動と、プランケット層内および界面附近での濃度分布とを調べることによりプランケット層内での渦動拡散係数を求め、乱流場における凝集およびフロック形成の機構を明らかにするとともに、各種凝集沈殿池の運転効率を改善することを目的としている。本論文ではプランケット層内の濃度が比較的高い場合の層内の渦動拡散係数およびプランケット界面の挙動について若干の考察を加えてみたい。

II. 基礎理論 ブランケット層内の同一水平断面において現象は等しいものとして一次元的に考える。ブランケット層の下端を起点とし鉛直上向きにX軸をとると、フロックの保存式は、

$$\frac{\partial C}{\partial t} = - \frac{\partial}{\partial x} \left\{ (u - w) C \right\} + \frac{\partial}{\partial x} \left(k \frac{\partial C}{\partial x} \right) \quad \text{--- (1)}$$

ここで C : フロックの濃度 K : 涡動拡散係数

w : フロックの干渉沈降速度 t : 時間

U ：上昇流速 [$= (\text{水量負荷}) / (\text{ブランケット層の断面積})$]

(1)の右辺第一項は上昇流速とフロックの沈降速度との差に起因するフロックの増分を、第二項は拡散によるフロックの増分を示す。フロックの干渉沈降速度は次のように仮定する。

$$w = w_0 - dC \quad \text{---} \quad (2)$$

ここで w : フロックの干渉沈降速度 c : フロックの濃度

w_0 : フロックの単一粒子としての沈降速度 d : 條数

プランケット層内におけるフロックは離合集散を繰返すが、破裂してOVER FLOW することはないと思定すると、フロック量は常に一定となる。したがって次式が成立する。

$$\int_a^b C(x) dx = W = \text{const.} \quad \dots \quad (3)$$

H: ブランケット層の下端から計ったブランケット層の高さ

W: ブランケット層内の単位垂直面積当たりのフロック重量

渦動拡散係数をおよび(2)の係数 μ は濃度 C に関係しない常数とする。ある定常状態においてブランケット層内の濃度 C は一定であると仮定する。記号の添字[1]は初めの定常状態を、[2]は水量負荷変化後の定常状態を示す。水量負荷が増加する場合と減少する場合に分けて考察する。

↑上昇流速(水量負荷)を減少させた場合 ブランケット層の下部の濃度が上部より高くなる。

即ち $C_1 < C_2$ である。 $C = C(x')$, $x' = x - vt$ とおいて(1)を変形する。境界条件は次のようになる。

$$x' \rightarrow -\infty \text{ で } C = C_2, \quad \omega = \omega(C_2) = \omega_2 \quad x' \rightarrow +\infty \text{ で } C = C_1, \quad \omega = \omega(C_1) = \omega_1$$

$x = 0, \quad x' = -v t$ における濃度を C_2 と近似し、(2),(3) を考慮すると次の解を得る。

$$t = \frac{k}{d^2 C_2 (C_2 - C_1)} \left[\log_e \frac{C_2 - C_1}{C_2 - C_1} - \frac{C_2}{C_1} \log_e \frac{C_2 - C_1}{C_2 - C_1} \right] \quad (4)$$

$$H = H_2 + \frac{k}{d C_2} \log_e \frac{C_2 - C_1}{C_2 - C_1} \quad (5)$$

ここで C_s : ブランケット界面でのフロック濃度

$H_2: t=\infty$ のときの H

したがって C_s をパラメータとして、ブランケット層の高さ H と時間 t の関係がえられる。この状態を図的に示すと図-1のようになる。ここで A-B-C はブランケット界面(上端)の挙動を、D-B は濃度 C_1 と C_2 の界面の挙動を、 H_1, H_2 は定常になった時のブランケット層の高さをそれぞれ示している。なお漏動拡散係数 $k = 0$ と仮定すると A-B と D-B は各々直線となる。

2) 上昇流速(水量負荷)を増加させた場合 この場合は $C_1 > C_2$ である。上昇流速を増加させた後は

$$U = \omega_2 = \omega_0 - d C$$

となり、1)の場合と同様にして次のようにおく。

$$x' = x - U t, \quad U = d C_1 \quad (6)$$

$$C' = C - (C_1 + C_2)/2 \quad (7)$$

以上4式により(1)は次のようになる。

$$\frac{\partial C'}{\partial t} = -2dC' \frac{\partial C'}{\partial x'} + k \frac{\partial^2 C'}{\partial x'^2} \quad (8)$$

境界条件は次のようになる。

$$x' \rightarrow +\infty \text{ で } C' = (C_1 - C_2)/2 \quad x' \rightarrow -\infty \text{ で } C' = (C_1 + C_2)/2 \quad (9)$$

(8), (9)の近似解を求めるために

$$C' = C'(\xi), \quad \xi = x'/f(t) \quad (10)$$

とおくと(8)は次のようになる。

$$\frac{f}{f' dt} \frac{dc'}{d\xi} = 2dC' \frac{1}{f} \frac{dc'}{d\xi} - \frac{k}{f^2} \frac{d^2 c'}{d\xi^2} \quad (11)$$

(11)が f とともに関する常微分方程式となるためには、A,B を常数

$$\text{として} \quad 2dC' \frac{dc'}{d\xi} = A \xi \frac{dc'}{d\xi} \quad (12)$$

$$k \frac{d^2 C'}{d\xi^2} = -B \xi \frac{dc'}{d\xi} \quad (13)$$

(12),(13)を(11)に代入して $t=0$ で $f=0, t=\infty$ で $f=\infty, f/t \rightarrow 1$ とすると $A=1$

$$\text{として} \quad t = f - B \log_e \left(1 + \frac{f}{B} \right) \quad (14)$$

(12), (13)は同一の関係をえなければならない。(12)と(9)を満足

する解は

$$C' = \begin{cases} (C_1 - C_2)/2 & \xi \geq d(C_1 - C_2) \\ \xi/2d & | \xi | < d(C_1 - C_2) \\ (C_2 - C_1)/2 & \xi \leq d(C_2 - C_1) \end{cases} \quad (15)$$

(13)と(9)を満足する解は

$$C' = \frac{C_1 - C_2}{2} \left(2B/\pi k \right)^{1/2} \int_0^\xi e^{-(B\xi^2/2k)} d\xi \quad (16)$$

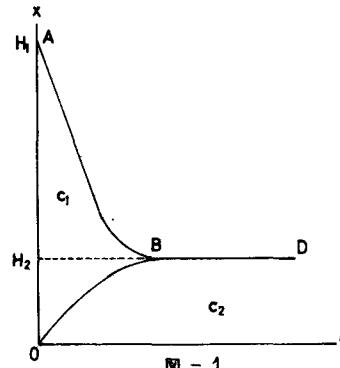


図-1 水量負荷減少時の界面の挙動

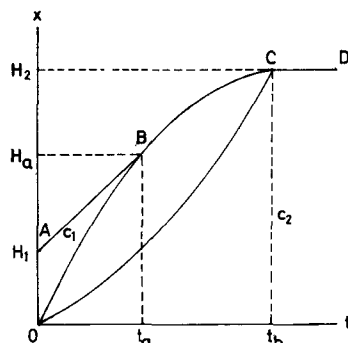


図-2 水量負荷増加時の界面の挙動

(15)と(16)のC'の値の差を0<=t<=nの範囲で積分したものが0に等しいことによってこれらの解が近似的に同一であるとみなしてBを求める。 すなわち

$$B = 2k / \{ \pi d^2 (4C)^2 \} \quad \dots \dots \dots \quad (17) \qquad \qquad \Delta C = (C_1 - C_2) / 2 \quad \dots \dots \dots \quad (18)$$

(6),(7),(10),(14),(15),(17),(18)を用いるとC₁をX_aとX_bとの関数として求めることができる。したがってこの関係と(3),(15)を用いるとブランケットの高さHの変化が求められる。結果は(15)にしたがって三段階に分かれれる。濃度変化の境界をX_a, X_bとしてX>X_aではC=C₁, X<X_bではC=C₂とすると(6),(10),(15)から

$$\chi_a = d(C, t + 2\Delta C \cdot f) \quad \dots \dots \dots \quad (19) \qquad \chi_b = d(C, t - 2\Delta C \cdot f) \quad \dots \dots \dots \quad (20)$$

② $H > X_0$ のとき H は一定速度で上昇する。

$$H = W/C_i + 2\alpha \Delta C \cdot t \quad \dots \quad (21)$$

その上限は $H = x_a$ となる時刻 t_a であり (14) (19) (21) から

$$C_1 f_a - 2k C_2 (1 + f_a/B) / \{ \pi d^2 (\Delta C)^2 \} = W/dC_1 \quad \dots \quad (22)$$

上式により f_A が求まると (14)(17) から t_A , H_A が求まる。

b) $\chi_b < H < \chi_a$ のとき ----- H の上昇速度は漸減する。

$$H = dC_1 t + 2df \left[\left\{ W/(df) + C_1 \cdot C_2 (1 - t/f) \right\}^{1/2} - (C_1 + C_2)/2 \right] \quad (23)$$

(14),(17),(22)から t と H の関係がわかる。 $H = X_t$ となる時刻を t_H 、そのときの H を H_H とすると(20),(22)により

$$H_b = 2d f_b \left\{ W / (d f_b) + C_1 C_2 (1 - t_b / f_b) \right\}^{1/2} - d f_b C_2 = W / C_2 \quad (24)$$

(c) $H < X_0$ のとき H は一定の値におちつく。 (14) と (24) から x_0 が求まる。

$$t \geq t_b \quad \tau = w/c_2$$

この状態を図-2に示す。A-Bは直線、B-Cは曲線、C-Dは直線となる。図-3,4に計算結果を示す。

III. 実験装置と方法 長さ2.2m、内径32mmのがラス管を使用した。管断面のいたるところで一様な上昇流をえ、またHOCの逆流を防ぐために管の下端にG1のグラスフィルターをつけてある。ヘッドタンクを下った水は流量計を通じて後このフィルターを通り管内を上昇し、管の上端からOVER FLOWするようになつてゐる。この管の上端から下端までスライド可能な台に豆球を用いた光源とフォトランジスタとこのスライド台のレベルを電気的に示すための接点が取付けられている。光源とフォトトラの角度は90°でフォトトラはフロックによる反射光を受光するようになつてゐる。したがつてフォトトラの

電流はフロックの濃度に比例するものと考えられる。スライド台に取付けら

れた接点の対の接点は別の支柱に1cm間隔に設けてある。 使用flocは木道水(アルカリ度84°, pH7.2, 水温23.1°C)と市販のカオリn 50%を混和した原水にバンド($an Al_2(SO_4)_3$)40mgを注入後S社製浮一テスターにて90rpmで30秒間攪拌し、更にセパラン2610を20%注入し、90-60-

番号	上昇流速 mm/sec	最終ファン ケット高 cm	最終濃度 mg/cm ³	界面移動方向	推定平均粒度 粒度係数	(2)の係數 α mm/sec	理論論式で 求めた濃度 mg/cm ³	理論論式で 求めた高さ cm
1	2.625	158.5	18.79	下	1.0	7.849	699.3	
2	1.832	103.1	28.89	上	1.6	7.849	309.5	1484.5
3	2.625	158.5	18.79	下	1.0	7.018	645.1	
4	1.486	85.0	35.02	上	1.0	6.966	235.5	1652.9
5	2.625	159.5	18.67	下	1.0	6.397	648.4	
6	1.359	77.4	38.48	上	0.7	6.254	213.9	1932.8
7	2.627	163.9	18.17	下	1.0	6.320	522.0	
8	0.637	59.9	49.70	上	1.0	6.358	128.7	1803.9
9	2.639	163.9	18.17	下	—	—	519.8	
10	0.548	55.1	54.05	上	0.8	5.830	116.7	1944.1
11	2.629	162.8	18.28					

表-1 方々界面の拳動と推定平均換算係数

米圖-1に相当する場合の η は $\eta = 0$ のときの値を示す。他に $\eta = -1$ のときの値を示す

IV. 実験結果 結果を表-1に示す。最終濃度は(フロック重量)/(最終プランケット高)で求めた。フロック重量は実験終了後管内に存在したフロックの乾燥重量である。推定平均拡散係数は(2)の係数 α を理論式に代入して計算した結果を描いた理論曲線と実験値から求めた曲線を重ね合すことにより推定した。上昇流速が減少する場合の例[表-1の5~6に相当]を図-3に示す。図-1のB点附近で拡散効果が特に生ずるので図-3ではその附近のみを示した。フロック濃度の低いところ即ちプランケットの高いところでは渦動拡散係数 α が小さく、フロック濃度の高いところではこの逆になつてゐる。また定常状態への落着きにかなりの時間を要する。上昇流速が増加する場合の例[表-1の10~11に相当]を図-4に示す。渦動拡散係数 α については図-3の場合と同様のことといえる。また t_a が小さいほど図-2における t_b が長く、 t_b が短い。表-1から分るように定常状態間のフロック濃度差が大きいほど t_a は小さく t_b は大きくなつてゐる。

V. 考察 プランケット層内で濃度を一定と仮定したが実験結果と理論値がかなりの一一致を示すことからもこの仮定がほぼ正しいと推察される。本実験においては、 $k=1$ であるが、実際には $k=k(c)$ と考えられこの傾向は図-3, 4からも推察される。水量負荷の増加時と減少時の両者において k の値がほぼ一致することは k を用いてフロック形成を論じうる可能性の裏づけとなりうると考えられる。なお水量負荷の増加時と減少時のプランケットの上端の挙動 H_{cm} に差が生じるのは図-4においては図-2のOCに相当するものが存在しないからである。

VI. もすび 本実験では、測定方法およびデータの補正法に不備な点があり今後更に改良してフロック濃度の稀薄な場合についても実験を行ないたい。本論文の計算には、九州大学中央計数施設のOKITA-5090-H電算計算機を使用した。

文献

1) J.A.W.W.A., Vol.140 NO.2 1948 p.113

